

株式会社地質調査事務所 正員。今野 政志
東大 生産技術研究所 正員 龍岡 文夫

砂の繰り具合を表すパラメーターとして相対密度 D_r が用いられており。 D_r は、原位置との標準貫入試験により得られるN値から推定する場合の他に最近は、原位置から採取(Sand sampling)された試料から求められる事が多くなってきた。今回は、同一試料について、N値、 D_r の両値を求めたデータが体系的に得られたので、それを用いて、N値から D_r を推定する精度について調査した。

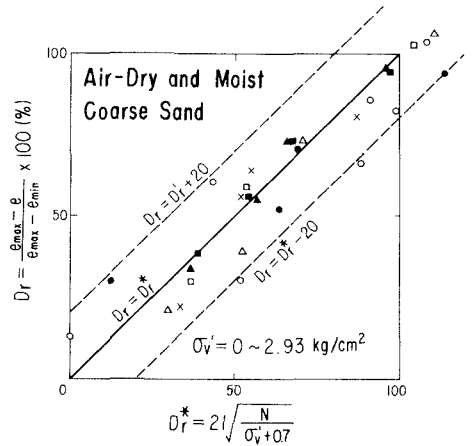
相対密度は、 $D_r = \frac{e_{max} - e}{e_{max} - e_{min}} \times 100 (\%) \quad \dots \dots \dots (1)$

と定義される。ここに、 e_{max}, e_{min} : 最後、最盛との間隔比止、 e : 現在の間隔比止である。

一方、N値から D_r を求める推定式について、これまで、いくつかの提案がされており、ほとんどのN値あるいは、N値と有效上載圧 σ_v' と D_r を関連させた場合が多く、他のパラメーター、たとえば、静止土圧係数 K_0 、細粒分含有率F.C(%)、平均粒径 D_{50} 等の影響を絶対的に研究したものは、まだないようである。本報告に用いた D_r の算定は、このうち、次に示すGibbs and Holtzの実験を基にしたMeyerhofの式を用いた。

$$D_r^* = 21 \sqrt{\frac{N}{\sigma_v' + 0.7}} \quad (\sigma_v': \text{kg/cm}^2) \quad (\%) \quad \dots \dots \dots (2)$$

表-1は、検討に用いた試料の諸条件を示したものである。また、図-1は、空気乾燥および不飽和状態の粗砂における Gibbs and Holtzの実験結果であり、 σ_v' の違いに応じて D_r^* 式はよくあてはまる事が分かる。同様に、新潟市川岸町および東京湾岸地区の試料について求めたのが図-2~4である。川岸町の中砂のデータは、緑色有率G.Cが5%以下のものについては、 $D_r = D_r^* \pm 15\%$ の範囲を示し、(2)式は妥当と言える。しかし、図-3のG.Cが5%以上のもの、図-4の細砂のデータとは、バラツキが大きく、全体として、 $D_r = D_r^*$ の一義的な関係は見られないようである。



LEGEND

- Air-Dry, $\sigma_v' = 0 \text{ kg/cm}^2$
 - Moist, $\sigma_v' = 0 \text{ kg/cm}^2$
 - × Air-Dry, $\sigma_v' = 0.67 \text{ kg/cm}^2$
 - △ Air-Dry, $\sigma_v' = 1.73 \text{ kg/cm}^2$
 - ▲ Moist, $\sigma_v' = 1.73 \text{ kg/cm}^2$
 - Air-Dry, $\sigma_v' = 2.93 \text{ kg/cm}^2$
 - Moist, $\sigma_v' = 2.93 \text{ kg/cm}^2$
- μ of $(D_r - D_r^*) = -2.3$
 σ of $(D_r - D_r^*) = 9.3$

(after Fig. 4 of Gibbs and Holtz (1957))

Fig.1 $D_r \sim D_r^*$

Table 1 List of Relative Density Measurements

(See NOTE)

No.	Site	Moist Condition	Void Ratio Measurement	e_{min} Measurement	e_{max} Measurement	References
1	Artificial in tank, compacted by vibrating	Air-Dry, Moist and Saturated	by direct density determination	by vibrating or hammering container with saturated material	by lightly pouring dry material into container	Gibbs and Holtz (1957)
2	Haneda etc. (Alluvial and Reclaimed)	Under water	by sand sampling with the liner of 2cm ² and 60cm ² , $e = e_r$; average void ratio in the liner	by tamping mold with air-dry sand (0.64)	by lightly pouring air-dry sand into mold (0.96)	This Investigation
3	Bon-nasse, (Alluvial and Reclaimed)	Under water	by sand sampling with the liner of 7cm ² and 20cm ² , $e = e_r$ of unconsolidated specimen of 7cm ² and 14cm ²	The Yashimi-Tokino Method (1973)	average of two methods (0.64)	→ Fukuda and Hanazawa (1976) → OYO-report (1977)
4	Kawagishi-cho, Niigata (Alluvial and Reclaimed)	Under water	Identical to No. 2	by tamping mold with air-dry sand and applying pressure of light (0.64)	average of two methods by Kolaszewski (1968)	JSSMFE (1976)
5	Niigata, (Alluvial and Reclaimed)	Under water	by sand sampling with the liner of 20cm ² and 100cm ² , $e = e_r$ of unconsolidated specimen of 20cm ² and 10cm ²	by vibrating a mold with air-dry sand on shaking table (0.61)	by tamping mold with air-dry sand (0.94)	Ishihara (1976)
6	Oh-gishima (Reclaimed)	Underwater	Identical to No. 2	Identical to No. 4 (0.60)	Identical to No. 4 (0.94)	Saito (1977)

NOTE: Figures in () represent maximum and minimum void ratios of Toyoura Sand determined by each method.

平均粒径 D_{50} の違いにより D_r に影響を及ぼすかどうか調べたのが図-5, 6 である。図のように、かなりのバラツキがあり良い相関は見られないが、 D_r^* を用いると D_{50} が大きくなる程 D_r を過大評価し、逆に D_{50} が小さくなる程、 D_r は過小評価する傾向がある。

以上のように、 N 値と D_r には、粒度特性(細粒分・砂分含有率、 D_{50})などによって多少異なるが、一義的な関係はないようである。その主な要因は、(1) e_{max} , e_{min} の測定方法が統一されていない事。(2) 同一 D_r に対しても、平均粒径 D_{50} により N 値が異なる事等があげられる。したがって、 N 値と D_r の関係をうまく結びつけるには、先の要因も含めて、他のパラメータも考慮せねば検討する必要があるように思われる。

謝辞

本論文のまとめは、建設省土木研究所版画研究室で行ったもので、岩崎敏郎室長、常田賢一氏に多大の御協力を得た。末筆ながら感謝の意を表します。

参考文献

- Gibbs and Holtz, W.G (1957) "Research on Determining the density of sands by spoon Penetration Testing" Proc. of 4th ICFMFE, Vol. 1 pp.35~39
- Yoshimi, Y. and Tohno, I. (1973) "Statistical Significance of the Relative Density" ASTM STP No. 653
- Kolbuszewski, J.J (1948) "An Experimental Study of the Maximum and Minimum Porosities of sand" Proc. 2nd ICSMFE, Vol. II, pp.158~165
- 福田正美・半沢秀郎(1976)「サンドサンプラーによる埋立造成地盤の相対密度測定結果」
土と基礎4月号, Vol. 24, N.6.4
- 谷本喜一・岩崎敏郎(1975)「砂の最密密度測定法」
計測工学レポート(ボリューム収容率編集), PP.11~14
- 石原研介(1976)「信濃川水門付近の堤における液化化試験結果」
建設省 土木工事課依頼調査報告書
- 齊藤彰(1977)「軟弱海底地盤上の大型構造工事における土角基礎工学的研究」
東京大学学位論文
- 土質工学会(1976)「地下街および地下工作物の地震被害に関する研究報告書」
地盤利用地盤監査事務所、社内報より

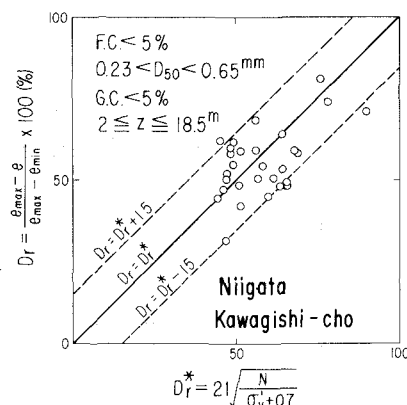


Fig. 2 $Dr \sim Dr^*$

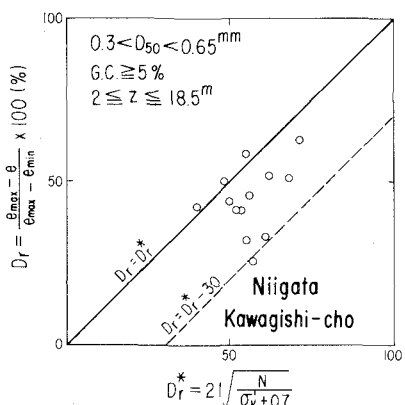


Fig. 3 $Dr \sim Dr^*$

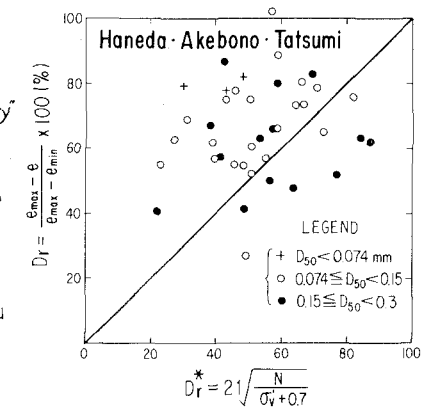


Fig. 4 $Dr \sim Dr^*$

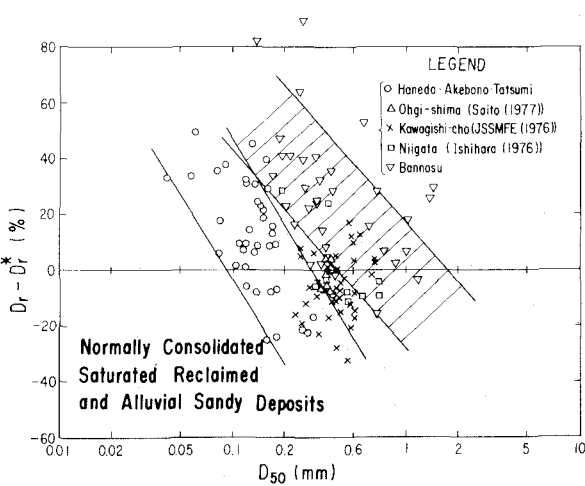


Fig. 5 $Dr - Dr^* \sim D_{50}$

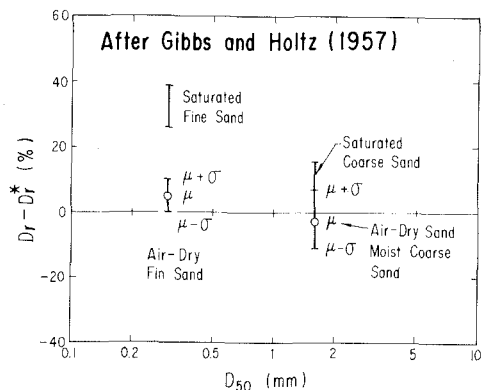


Fig. 6 $Dr - Dr^* \sim D_{50}$